

## 超原子価あるいはハロゲン結合分子と呼ばれるヨウ素誘導体のコンピュータ分子モデリング検証

(阪大名誉教授・株式会社M3研究所) ○柳田 祥三・(株式会社M3研究所) 吉川 整  
(阪大院工) 木田 敏之  
yanagida@mls.eng.osaka-u.ac.jp

### 【序】

van der Waals と Coulomb 相互作用による分子間会合体は、密度汎関数理論(DFT, B3LYP/6-31-G\*)に基づくコンピュータ分子モデリング(DFT/MM)で、その平衡立体構造に関して、熱力学的変化(発熱的か吸熱的かどうか)、静電ポテンシャルと静電電荷、また、最高被占軌道(HOMO)と最低空軌道(LUMO)とそれから導かれるUV/Visスペクトルが関係する電子エネルギー構造が検証できる。ヨウ化物イオン( $I^-$ )とヨウ素との会合体( $I^- & I_2$ )、さらに、ヨウ素の結晶化に関連するヨウ素分子の3量体[ $(I_2)_3$ ]、IF、 $IF_3$ 、 $IF_5$ 、 $IF_7$ 等は超原子価結合(ハロゲン結合)分子とみなされている。DFT/MMに基づきそれらの表面電子密度を解析した。ヨウ素化合物における超原子価分子を構成する結合、あるいはハロゲン結合とは、ヨウ素分子( $I_2$ )、ヨウ化物イオン( $I^-$ )、ヨウ素原子(I atom)の豊富な、表面電子(外殻7電子)が関わる静電電荷が、分子間で強く関与する van der Waals と Coulomb 相互作用に由来することを検証・予見する。

### 【結果と考察】

コンピュータ分子モデリングは、ノートパソコンに搭載した計算ソフト“Spartan”を用いて DFT(B3LYP, 6-31G\*)を採用して行った。Fig. 1 に、ヨウ化物イオン( $I^-$ )、ヨウ素原子[I atom]、外殻電子1個の脱離した  $I^+$ 、外殻電子3個が酸化で除かれた  $I^{+3}$ 、外殻電子5個の除かれた  $I^{+5}$ 、外殻電子7個全て除かれた  $I^{+7}$  の生成に関するエネルギーと静電ポテンシャルマップと静電電荷を示した。

静電ポテンシャルマップは、分子表面の電子の広がりを示すとともに、その電子密度の高低を色分けして、分子間に働く van der Waals と Coulomb 相互作用、場合によっては共有結合距離に導く“電子密度の高い部分”(赤色)と“電子密度の低い部分”との“電子的”相互作用をわかりやすく可視化する。なお、緑色は電子密度が均等に広がった状態と解する。外殻電子5個の脱離した  $I^{+5}$ 、外殻電子7個の脱離した  $I^{+7}$  の場合は、外殻電子が5個と7個脱離することで、表面電子密度の広がり低下を理解させる。

Fig. 2 に  $I^-$ と共にヨウ素( $I_2$ )の静電ポテンシャルと共に、 $I^-$ と  $I_2$ との3種の van der Waals & Coulomb 相互作用による会合体の静電ポテンシャルを示した。 $I_2$ の静電ポテンシャルでは、分子中央部と両末端に電子密度の低いところを持つが、腹部分は電子密度が高い。Tandem  $I^- & I_2$ (SPE)は分子力学で最適化した構造(SPE構造)である。Liner  $I^- & I_2$ (SPE)は、 $I_2$ の先端部分に  $I^-$ を3.002Åの距離に平面線状に配置させて求めたSPE構造である。そのEQG構造がLiner  $I^- & I_2$ (EQG)である。いずれも生成が発熱的であり、各ヨウ素上の静電電荷が関与する。なお、 $I_3^-$ のEQG構造はLiner  $I^- & I_2$ (EQG)と一



Figure 1. Electrostatic potential map of iodine atom and ions

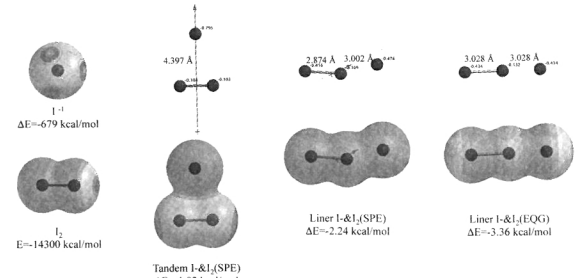


Figure 2. Electrostatic potential map for alignments of  $I^-$  and  $I_2$  induced by van der Waals and Coulomb interaction

致する。このことは、超原子価分子の  $I_3^-$  とは、 $I^-$  と  $I_2$  の表面電子の偏りによって van der Waals と Coulomb 相互作用によって速やかに会合すると理解できる。

Fig. 3 に  $I_2$  の van der Waals と Coulomb 相互作用によると理解できる3種の3量体の静電ポテンシャルを示した。Tandem( $I_2$ )<sub>3</sub>(SPE)は分子力学で最適化した構造の SPE 構造である。Liner( $I_2$ )<sub>3</sub>(SPE)は、 $I_2$  の先端部分をそれぞれ 3.581Å, 3.517Å の距離に平面線状に配置させて求めた SPE 構造である。その EQG 構造が Liner( $I_2$ )<sub>3</sub>(EQG) である。Tandem SPE 構造は吸熱的であるが、linear 構造は発熱的で、静電電荷が微妙に異なる。Liner( $I_2$ )<sub>3</sub>(EQG) はヨウ素結晶に見られる会合構造である。ヨウ素分子の先端の電子密度の低いサイトが Coulomb 相互作用で会合することになる。

代表的な超原子価ヨウ素化合物である  $IF_7$  は  $IF_6^+$  と  $F^-$ との会合と捉えて、 $F^- & IF_6^+$ として。その EQG 構造を求めた。生成は発熱的で、7配位の構造  $IF_7$  を取ることが検証できた。 $F^-$ イオンがイオン的状態で会合している。そこで、IF、 $IF_3$ 、 $IF_5$ 、 $IF_7$ の静電ポテンシャルと共に静電電荷(electrostatic charge)を求めた(Fig. 5)。I 原子は正電荷をもち、F 原子は負電荷をもつことが検証できた。I 原子が関わる超原子価結合とは、van der Waals 力よりも Coulomb 相互作用が主導的に働いた結果と言える、すなわち、フッ化ヨウ素化合物とは、ヨウ素元素の外殻電子がフッ素原子に一方的に移動した結果、ヨウ素からの電子が、フッ素上に移動し、例えば、 $I-F$  分子は、 $I^+F^-$ とイオン的に表現できる。

ヨウ素が関わる化学結合性は、ヨウ素の周期律表17族ハロゲン元素としてその外殻の5S軌道の電子密度が、van der Waals と Coulomb 相互作用を増大させる結果と理解する。

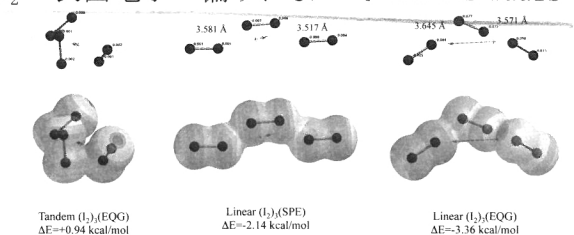


Figure 3. Electrostatic potential map of iodine trimers

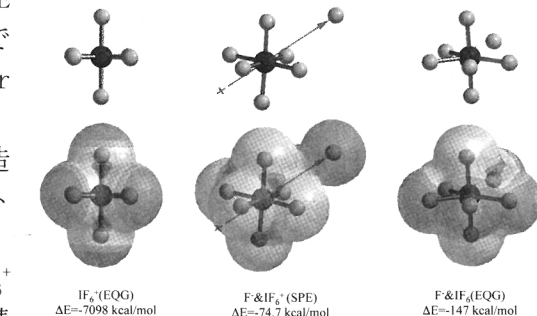


Figure 4. Electrostatic potential map of  $IF_6^+$ ,  $F^-$  &  $IF_6^+$  ( $IF_7$ )

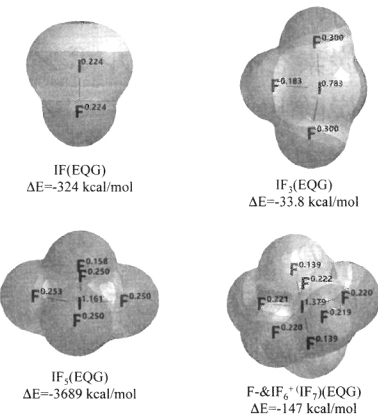


Figure 5. Electrostatic potential map with electrostatic charge of IF,  $IF_3$ ,  $IF_5$ ,  $IF_7^+$ , and  $F^-$  &  $IF_6^+$  ( $IF_7$ )

### DFT-based Verification and prediction of hypervalent and halogen-bonding in iodine derivative.

(Osaka Univ. and M3 Inc) Shozo Yanagida, Osamu Yoshikawa, Tomoyuki Kida Density-functional theory based molecular modeling (DFT/MM) of iodine molecule ( $I_2$ ) and iodine atom, and iodide ions ( $F^-$ ,  $F^+$ ,  $F^{+3}$ ,  $F^{5+}$ ) reveals that  $I_2$ ,  $I^-$ , I atom, and  $I^+$  have electrostatic potential map with high electron density sites and low electron density sites, and that highly oxidized cationic iodide ions,  $I^{+3}$ ,  $I^{+5}$ , and  $I^{+7}$  give small electrostatic potential maps with very low electron density. A typical hypervalent molecule of  $I_3^-$  can be verified as an aggregate of  $I_2$  and  $I^-$  via interactions between  $I^-$  and  $I_2$ , because low electron density sites on  $I_2$  molecule locates on both end of  $I_2$  molecule. A linear  $I_2$  trimer ( $I_2$ )<sub>3</sub> is verified to form via van der Waals interactions as in  $I_2$  crystal. As for hypervalent molecules of IF,  $IF_3$ ,  $IF_5$ , and  $IF_7$ , they are verified as due to strong Coulombic interactions, being characterized as salt-like  $I^+F^-$ ,  $I^{+3}(F^-)_3$ ,  $I^{+5}(F^-)_5$ , and  $I^{+7}(F^-)_7$ , on the basis of electrostatic charge.